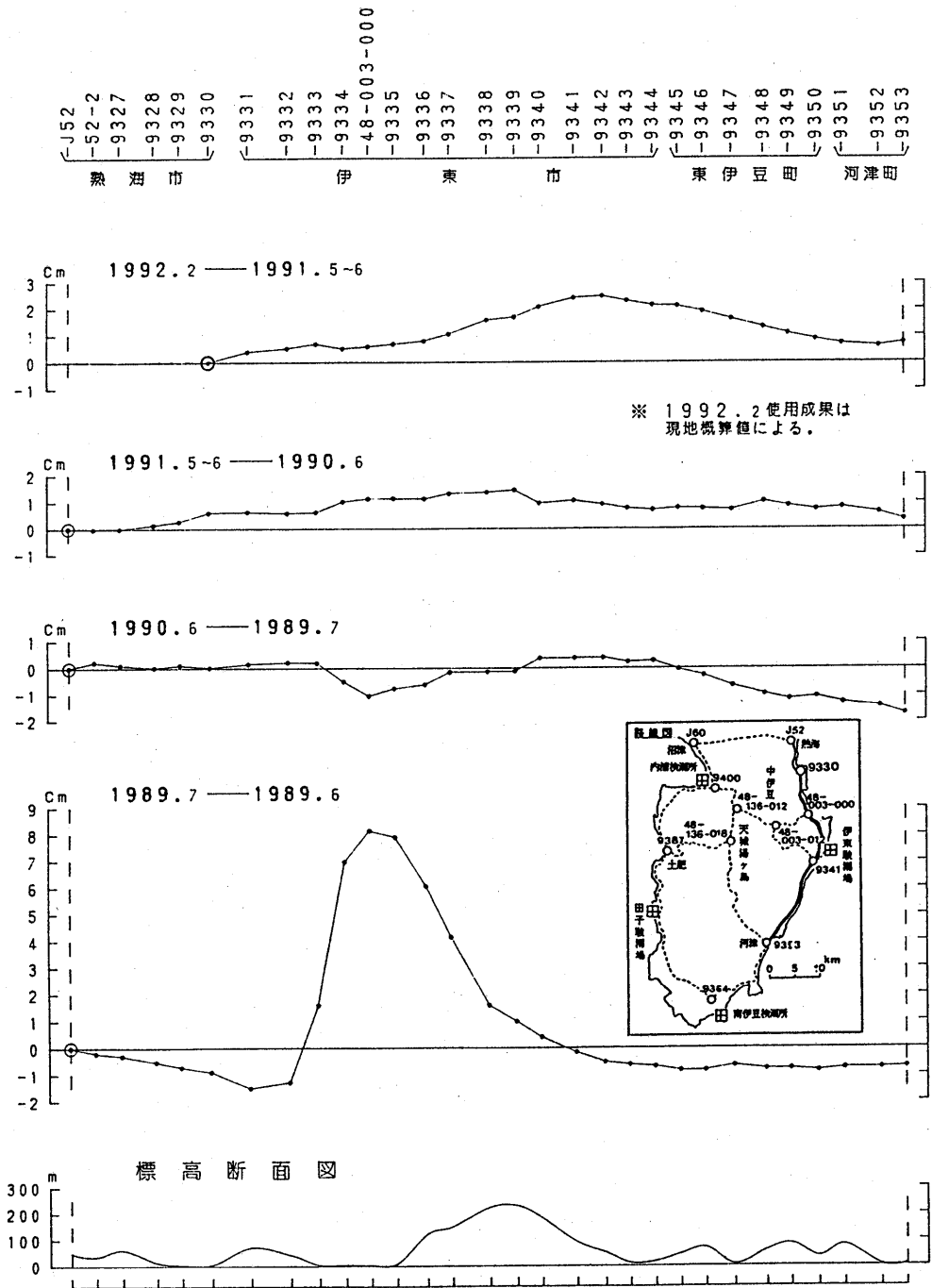


伊豆半島の地殻変動*

国土地理院

第1図は熱海～伊東～河津間の水準測量結果を示したものである。隆起域は南へ移動し、噴火前のパターンに戻ってきている。第2～4図は伊豆半島北東部の距離測量の結果である。1年前（1990年11～12月）に比べ、北側ではやや縮みの傾向を示しているが、それ以前から通してみると、噴火前と同様の傾向である。第5、6図は川奈における精密辺長測量結果である。半年前と比べ大きな変動はない。第7図は伊東、初島、真鶴各験潮場の油壺験潮場を基準にした月平均潮位差である。伊東験潮場の1989年後半頃からの隆起速度の鈍化傾向が継続している。第8、9図は伊東付近各験潮場の日平均潮位差を示したものである。1991年11月より一部観測が中断しているが、その他の区間では有為な変化はみられない。第10図は、初島 — 伊東のGPS連続観測及び小室山 — 宇佐美のEDM連続観測結果である。特に変化はみられない。

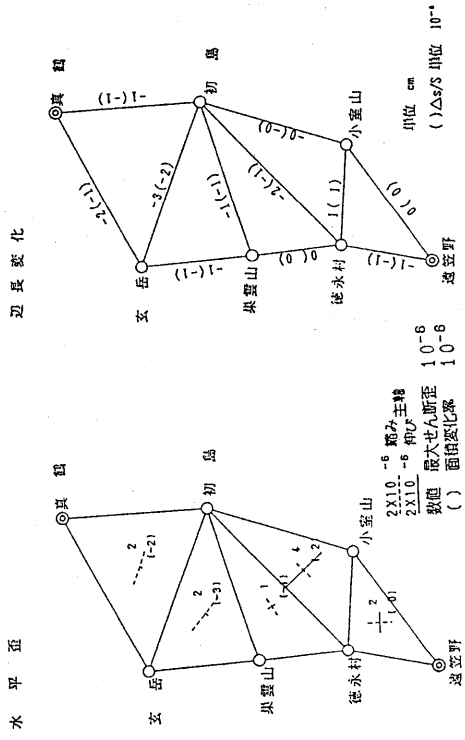
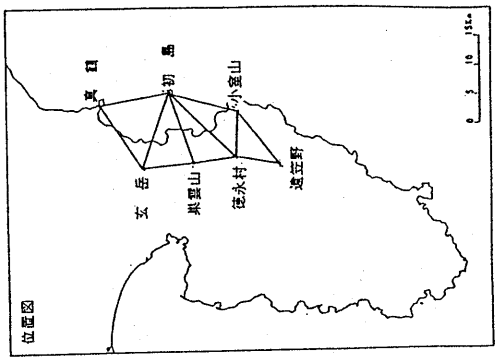
* Received 11 May, 1992



第1図 熱海～伊東～河津間の上下変動
 Fig. 1 Level changes along the route from Atami to Kawazu, via Ito.

区間	1973	1976	1976	1976	1977	1978	1979	1980	1981	1982	1983	1984	1985	1986	1987	1988	1989	1989	1990	1990	1991	
	10-11	4	8-10	11	10	10-11	11-12	12	11-12	11-12	11-12	11-12	11-12	11-12	11-12	11-12	7-8	8-9	11-1	3	5	7
初島~小室山	11,790.00		.00	.03	.09	.12	.13	.15	.14	.16	.17	.20	.21	.27	.43	.45	.45	.46	.44	.45	.48	.47
初島~徳永村	15,602.20		.69	.75	.76	.76	.76	.76	.76	.76	.78	.81	.79	.79	.79	.85	.88	.89	.87	.86	.91	.89
初島~果雲山	12,575.74		.13	.13	.12	.13	.13	.15	.11	.11	.13	.12	.12	.12	.11	.14	.14	.14			.17	.14
初島~真鶴	11,135.		.77	.78	.80	.79	.81	.79	.82	.82	.82	.83	.83	.84	.84	.82	.82	.82			.83	.82
玄岳~真鶴	12,652.		.03	.02	.04	.03	.06	.04	.06	.05	.07	.08	.10	.07	.08	.10	.13	.13			.14	.13
玄岳~果雲山	8,535.89		.88	.87	.88	.87	.88	.88	.85	.88	.88	.89	.88	.89	.88	.89	.89	.89			.91	.90
徳永村~果雲山	6,960.34	.37	.37	.38	.38	.37	.39	.39	.38	.39	.39	.40	.38	.39	.40	.38	.39	.43	.44		.46	.45
徳永村~小室山	7,795.06	.14	.14	.14	.15	.19	.21	.23	.21	.23	.25	.24	.24	.24	.24	.23	.29	.29			.30	.31
徳永村~遠笠野	7,200.	.00	.03	.07		.15	.18	.17	.17	.18	.19	.18	.18	.17	.22	.22	.19	.19			.23	.22
小室山~遠笠野	11,274.		.39	.44	.43	.46	.46	.46	.46	.46	.46	.46	.46	.46	.46	.46	.43	.44			.45	.46

1989.8-9,1.1は村学技術庁振興調査による。
 1982,1983年は、概平均した結果である。
 ※ 徳永村~果雲山間1973年は、G-8との比較測定による定数を使用。

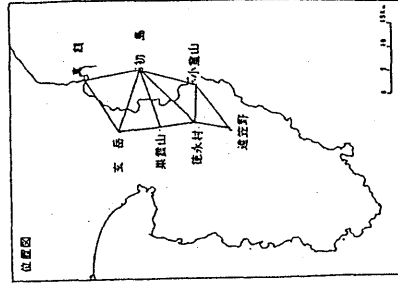
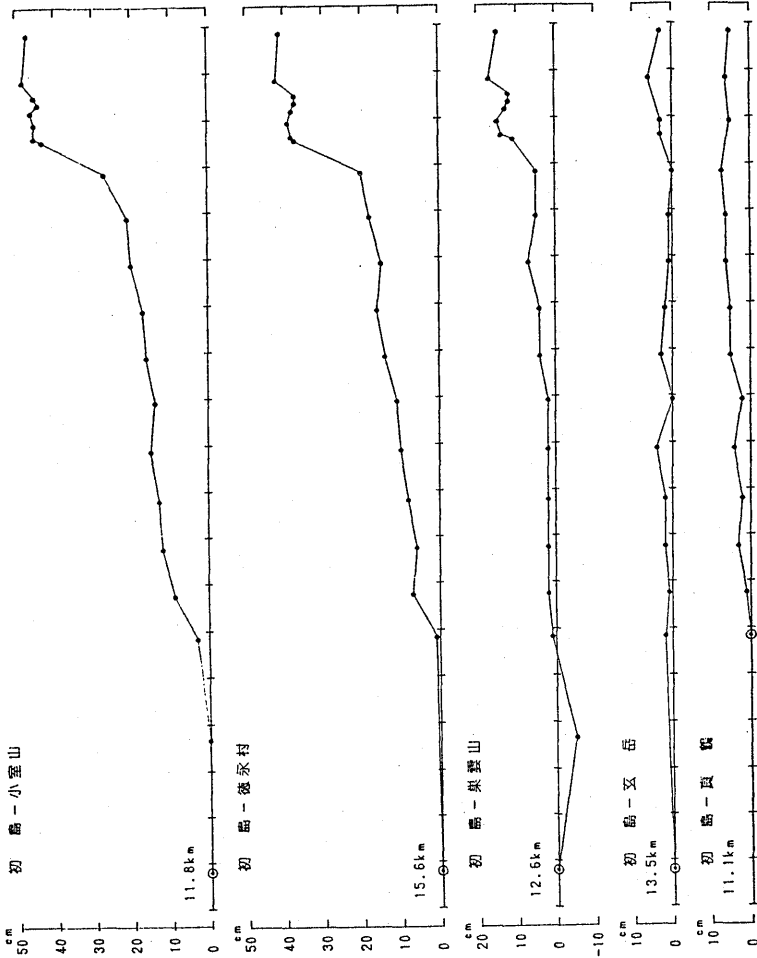


第2図 伊豆半島北東部精密距離測量結果(1)

Fig. 2 Results of precise distance measurements in the Northeastern Izu Peninsula (1).

辺長の経年変化

1973 1974 1975 1976 1977 1978 1979 1980 1981 1982 1983 1984 1985 1986 1987 1988 1989 1990 1991

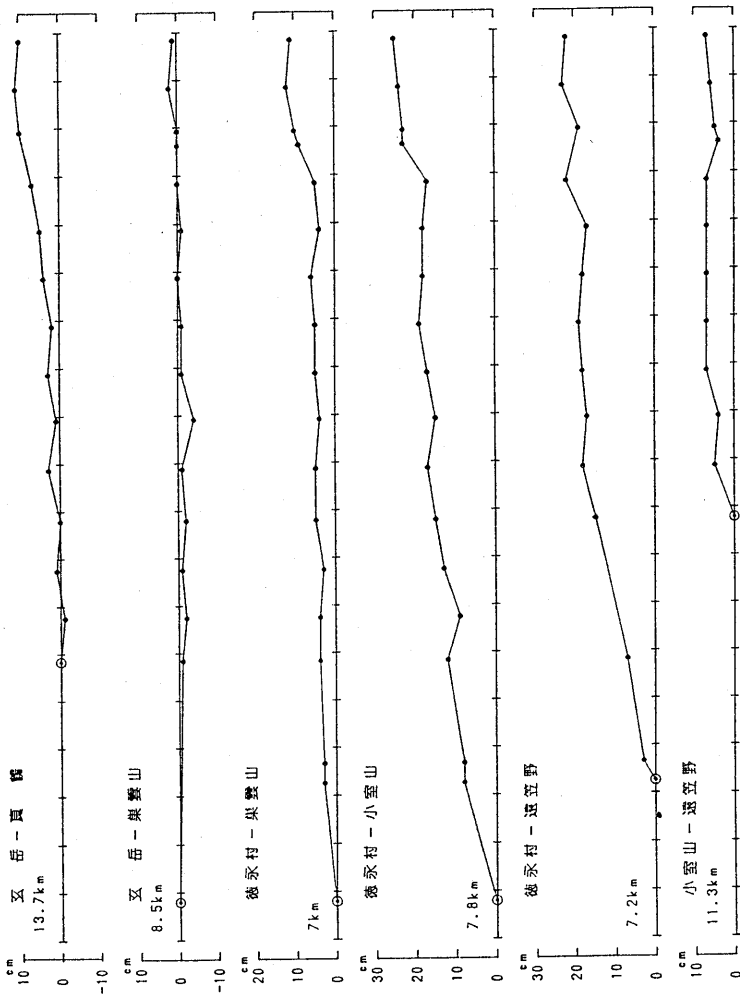


第3図 伊豆半島北東部精密距離測量結果 (2)

Fig. 3 Results of precise distance measurements in the Northeastern Izu Peninsula (2).

辺長の経年変化

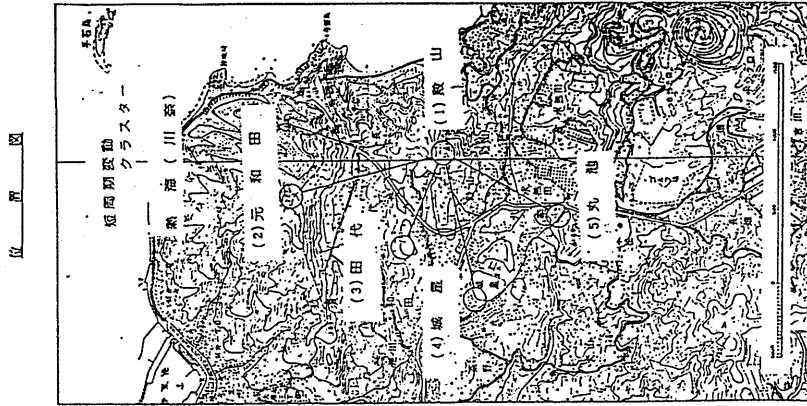
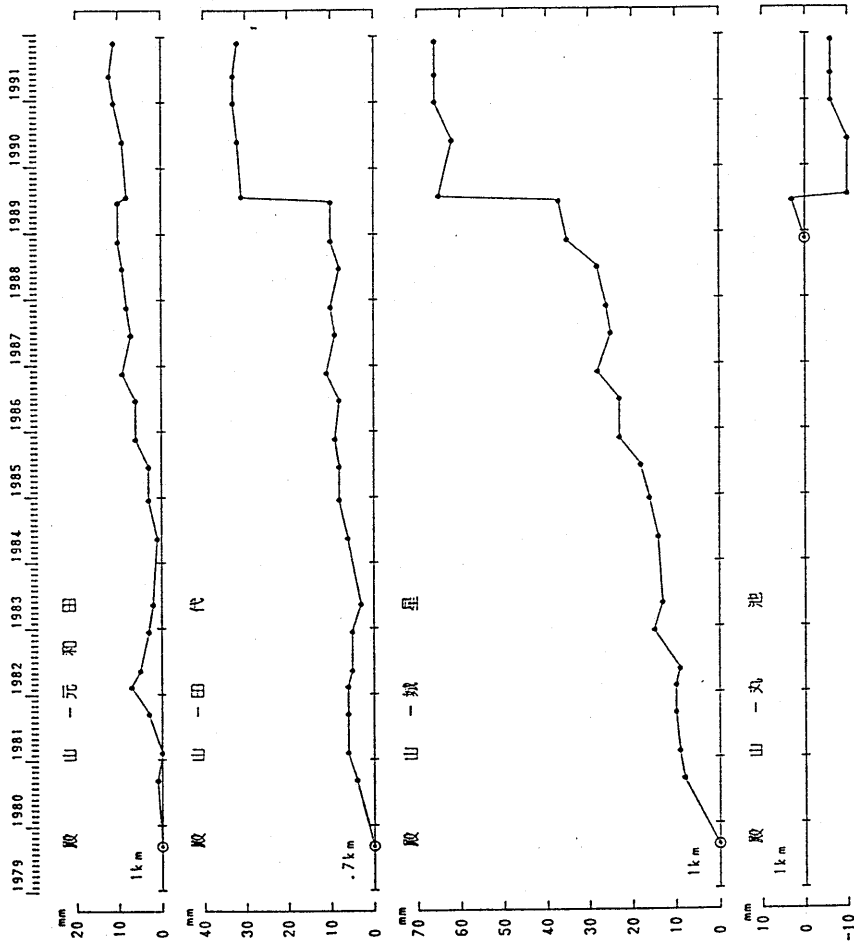
1973 1974 1975 1976 1977 1978 1979 1980 1981 1982 1983 1984 1985 1986 1987 1988 1989 1990 1991



第4図 伊豆半島北東部精密距離測量結果 (3)

Fig. 4 Results of precise distance measurements in the Northeastern Izu Peninsula (3).

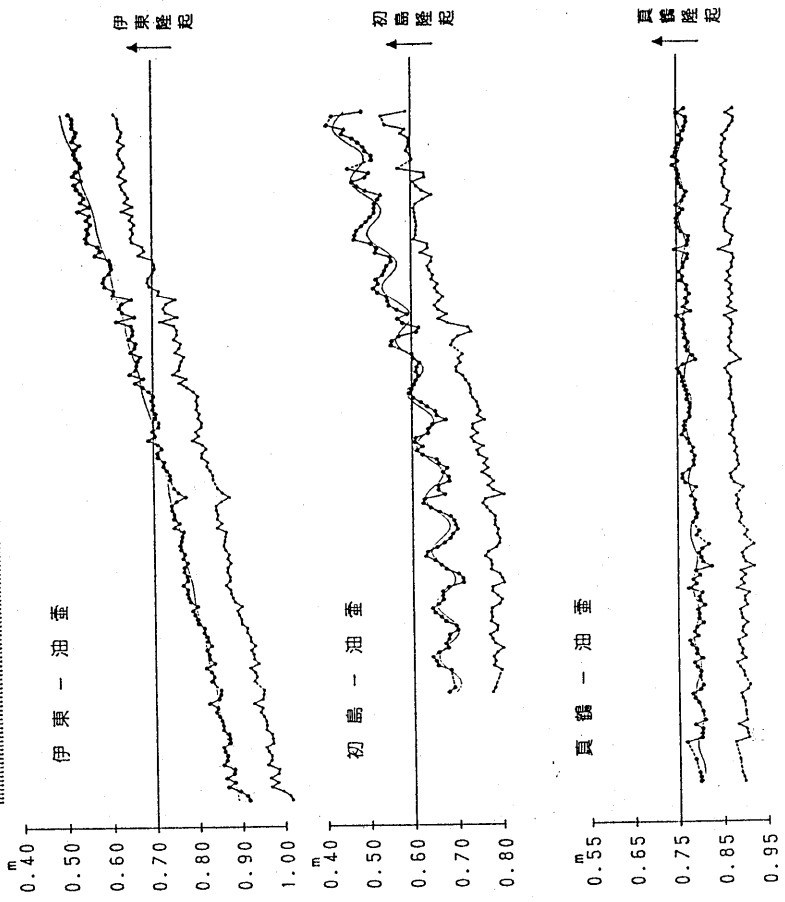
辺・長の経年変化



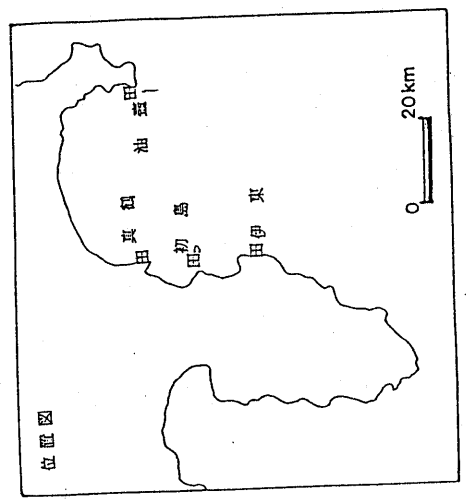
第6図 川奈精密距離測量結果 (2)

Fig. 6 Results of precise distance measurements at Kawana radial baseline (2).

1979, 1980, 1981, 1982, 1983, 1984, 1985, 1986, 1987, 1988, 1989, 1990, 1991, 1992

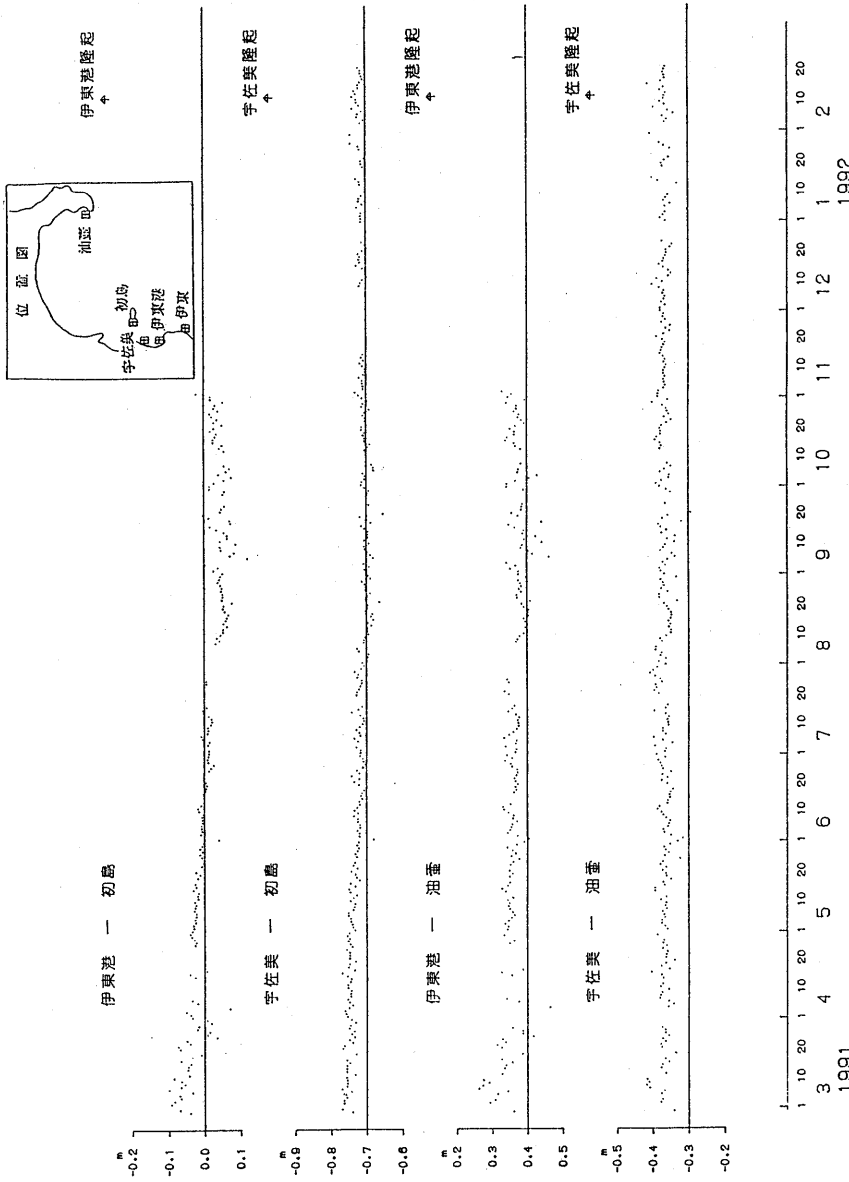


※ 1992年1月の潮位データは
テレメータによる平均値を使用
した。



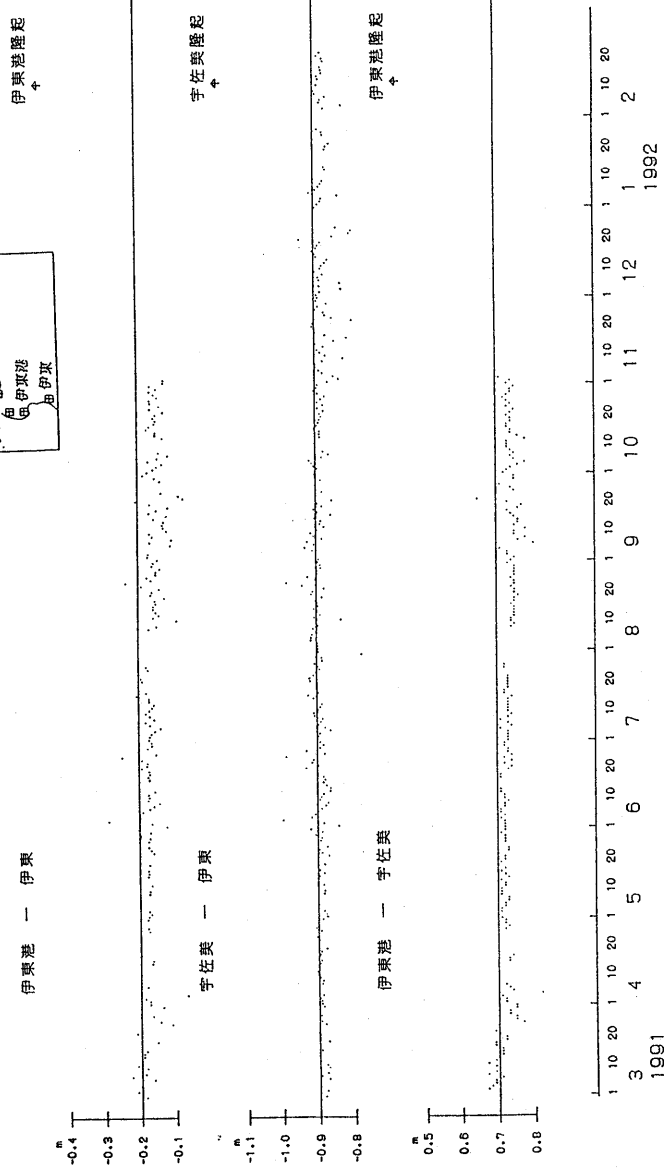
第7図 伊東・油壺・初島・真鶴各験潮場間の月平均潮位差

Fig. 7 Differences in monthly mean sea level between Ito, Aburatsubo, Hatushima and manazuru tidal stations.



第8図 伊東市周辺における日平均潮位差連続観測結果 (1)

Fig. 8 Differences in daily mean sea level between tidal station pairs in the Ito region (1).



第9図 伊東市周辺における日平均潮位差連続観測結果 (2)

Fig. 9 Differences in daily mean sea level between tidal station pairs in the Ito region (2).

